

بررسی اثر الیاف پارافایبر بر مشخصات فنی مخلوط‌های آسفالت بازیافتی گرم کارخانه‌ای و انتخاب یک ترکیب مناسب

مقاله علمی - پژوهشی

بابک گلچین، گروه مهندسی عمران، دانشگاه محقق اردبیلی، اردبیل، ایران
محمد علیان، گروه مهندسی عمران، واحد اهر، دانشگاه آزاد اسلامی، اهر، ایران
رامین مشک‌آبادی^{*}، دانشکده فناوری‌های نوین، دانشگاه محقق اردبیلی، اردبیل، ایران

^{*}پست الکترونیکی نویسنده مسئول: r_meshkabadi@uma.ac.ir

دریافت: ۱۴۰۱/۰۸/۲۰ - پذیرش: ۱۴۰۲/۰۴/۲۸

صفحه ۸۵-۱۰۲

چکیده

امروزه در ساخت رویه‌های آسفالتی به دلیل افزایش شدید قیمت قیر و مشکلات زیست‌محیطی به موضوع بازیافت گرم توجه شده است. از تکنی نظر فنی، الیاف مصالحی هستند که تعدادی از رفتارهای مخلوط‌های آسفالتی را بهبود می‌دهند. هدف این پژوهش، بررسی رفتار فنی مخلوط‌های آسفالتی گرم حاوی تراشه آسفالت در حضور الیاف پارافایبر به منظور تعیین مقدار مناسب این الیاف و تراشه آسفالتی در تهیه مخلوط‌های آسفالت گرم بازیافتی است. بدین منظور از یک رویکرد جدید برای طراحی آزمایش، تحلیل نتایج و انتخاب ترکیب مناسب آسفالتی استفاده شد. این رویکرد، از یک روش طراحی عاملی دو سطحی در محیط نرم‌افزار دیزاین اکسپرت بر اساس توابع مطلوبیت استفاده می‌کند. نتایج تهیه نمونه‌های آزمایشگاهی و تست آنها نشان داد که در مخلوط حاوی ۵۰ درصد تراشه و ۶ درصد قیر، افزایش الیاف از صفر به ۲/۰ درصد، مقدار استقامت مارشال را ۱/۷/۴ درصد افزایش و مقدار روانی را ۳/۸ درصد کاهش می‌دهد. در همین مخلوط با مقدار قیر ۴ درصد، با افزایش الیاف از صفر به ۳/۰ درصد، مقدار استقامت و روانی مارشال به ترتیب ۱/۱ و ۱/۵ درصد افزایش پیدا می‌کند. بیشترین خصای خالی مربوط به مخلوط آسفالتی، حاوی ۵۰ درصد تراشه، ۶ درصد قیر و ۲/۰ درصد الیاف است. تحلیل نتایج نشان می‌دهد که ترکیب مناسب برای تولید مخلوط آسفالت بازیافتی با توجه به معیارهای طراحی در آینه‌نامه روسازی راه‌های آسفالتی ایران برای مصالح منتخب در این تحقیق، ۶ درصد قیر، ۵۰ درصد تراشه آسفالت و ۲/۰ درصد الیاف پارافایبر است.

واژه‌های کلیدی: بازیافت آسفالت، طراحی عاملی دو سطحی، الیاف پارافایبر، قیر، طراحی آزمایش

۱- مقدمه

بازیافت گرم مخلوط‌های آسفالتی، یک روش مناسب برای تولید گرفته است. حمزه و همکاران از یک افزودنی وکس برای تولید نمونه‌های آزمایشگاهی با تراشه آسفالت در دماهای پایین (Hamzah, Gungat, and Golchin, 2017) این مخلوط آسفالتی توانست مشخصات مقاومتی و حجمی قابل قبولی را مطابق با استانداردهای تعریف شده تأمین

ترمیم و نگهداری روسازی راهها است. قیر و مصالح سنگی به کار رفته در تراشه‌های آسفالتی، موجب کاهش هزینه‌های تولید مخلوط‌های آسفالت بازیافتی می‌شوند. تحقیقات زیادی با افزودنی‌های مختلف برای بهبود رفتار این مخلوط‌ها صورت

آراویند و همکاران در (Stienss and Szydłowski, 2016) تحقیقات خود از سه نوع الیاف سلولز، الیاف پلی استر و میترال با درصد های مختلف به عنوان اصلاح کننده برای مخلوط آسفالتی استفاده کردند. نتایج نشان داد که مشخصات خستگی (Aravind, Shaopeng and Ning, 2009) پنگ و همکاران مخلوط های آسفالتی مسلح شده با الیاف کربن را در معرض آزمایش های مکانیکی شامل مدول برجهندگی، بارگذاری خرسنی، خستگی تیرچه خمثی و مقاومت کششی غیر مستقیم قرار دادند. مطابق نتایج ایشان، مخلوط های حاوی الیاف کربن، مقاومت بیشتری را در برابر تغییر شکل های دائمی از خود نشان دادند (Pang et al, 2014). فخری و حسینی به بررسی آزمایشگاهی مقاومت شیارشدنگی و حساسیت رطوبتی آسفالت های گرم اصلاح شده با الیاف شیشه ای حاوی تراشه آسفالتی پرداختند. نتایج نشان داد که افزودن الیاف شیشه ای به آسفالت گرم بدون تراشه، اگرچه مقاومت شیارشدنگی مخلوط را بالا می برد ولی باعث بهبود حساسیت رطوبتی آسفالت نمی گردد، اما افزودن الیاف شیشه ای به آسفالت بازیافتی می تواند باعث بهبود شیارشدنگی و حساسیت رطوبتی مخلوط آسفالتی گردد (Fakhri and Hosseini, 2017). در تحقیق حاضر از الیاف پارافیبر برای تسلیح مخلوط آسفالتی حاوی تراشه آسفالت استفاده شده است. پارافیبر یک افروزنی تجاری از نوع الاستو پلاستور و قابل استفاده در مخلوط های آسفالتی است که مرکب از رشته های الیاف ویژه با دمای ذوب نسبتاً بالا و نیز مواد پودری سفید رنگ است. این الیاف، محصول فرآیندهای شیمیایی در مجتمع های پتروشیمی است. پارافیبر در تحقیقات گذشته در مخلوط های آسفالتی استفاده شده است. شفابخش و همکاران اثر الیاف پارافیبر را در بهبود مدول برجهندگی و رفتار شیارشدنگی مخلوط های آسفالتی لاستیکی گزارش نمودند (Shafabakhsh, Asadi and Mohammadi Janaki, 2021). در تحقیق دیگر، مقاومت خوش دینامیکی برای مخلوط های آسفالتی توسط الیاف پارافیبر بهتر از الیاف پلی اتیلن (Namavar, Sisakhti and Gizil Beyglou, 2017) گزارش شده است. نام آور جهرمی و ابوطالبی اصفهانی، افزایش استقامت مارشال و مدول برجهندگی نمونه های آسفالتی (Namavar, Jahromi and Aboutalebi Esfahani, 2018) مسلح شده با الیاف پارافیبر را گزارش نمودند مسلح شده با الیاف پارافیبر را بهبود می تواند عملکرد به صورت کلی می توان گفت پژوهش های زیادی در خصوص

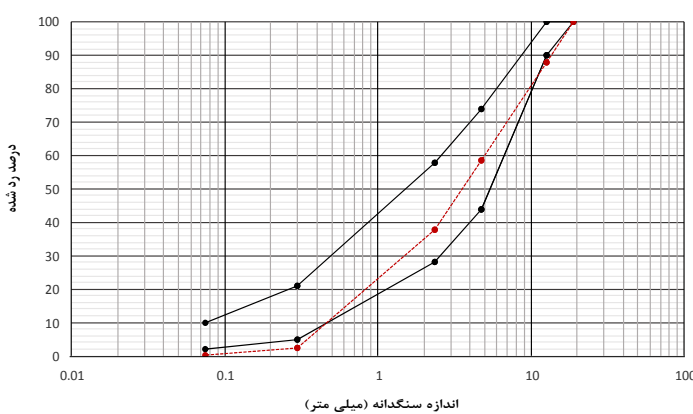
کند. ژانگ و همکاران از یک ماده جوانساز برای بهبود رفتار پیشگوی قیر در تراشه های آسفالتی استفاده کردند (Zhang et al, 2019) نتایج آزمایشگاهی، بهبود رفتار خستگی مخلوط های بازیافتی را در حضور این افروزنی نشان داد. میرحسینی و همکاران اثر ماده جوان ساز بایو ایل را بر روی نمونه های آسفالتی با مقدار تراشه زیاد بررسی کردند (Mirhosseini et al, 2019). این ماده حساسیت رطوبتی مخلوط های آسفالت بازیافتی را بهبود داد. فخری و متعدد نانو رس را در ساخت مخلوط های بازیافتی به کاربردند (Fakhri and Mottahed, 2021). این ترکیب توانست مقاومت رطوبتی مخلوط حاصل را ۱۳ درصد افزایش دهد. گلچین و ربی از ساسویت به عنوان افروزنی گرم برای کاهش ویسکوزیته قیر در فرآیند اختلاط با تراشه آسفالتی استفاده کردند (Golchin and Rabbi, 2020). ایشان تلاش کردند یک ترکیب بهینه را برای مقدار ساسویت و قیر در آسفالت بازیافتی ارایه نمایند. در تحقیق حاضر از الیاف در ساخت مخلوط های بازیافتی استفاده شده است. استفاده از الیاف یک روش شناخته شده برای تغییر و بهبود خواص مخلوط های آسفالتی است. نام آور جهرمی و همکاران نشان دادند که الیاف فورتا باعث افزایش مدول برجهندگی مخلوط آسفالتی می شود (Namavar Jahromi and Aboutalebi Esfahani, 2017). معتمدی و همکاران با انجام آزمایش های مقاومت شکست بر روی نمونه های نیم دایره خمثی در دمای میانی نشان دادند که الیاف مرکب آرمید پلی اولفین با مقدار مصرف ۰/۱ درصد وزن مخلوط آسفالتی، بیشترین مقاومت کشش غیر مستقیم را دارد (Motamed, Zaker and Hosseini, 2017). کفاح زاده در تحقیقات خود نشان داد که الیاف شیشه و پت، رفتار خستگی مخلوط آسفالتی را بهبود می دهند (Kaffashzadeh, 2017). جهرمی و خدایی ویژگی های مخلوط های مسلح شده با الیاف کربن را بررسی کرده و نشان دادند که الیاف کربن باعث افزایش استقامت مارشال، کاهش روانی مارشال و افزایش فضای خالی آسفالت شده و عمر خستگی و مقاومت در برابر تغییر شکل دائمی را افزایش می دهد (Jahromi and Khodaei, 2008). جاسکولا و همکاران در تحقیقات خود از الیاف آرمید پلی آپالوفین استفاده کردند و نتیجه گرفتند که استفاده از این الیاف می تواند عملکرد مخلوط آسفالتی را در دمای پائین بهبود بخشد (Jaskula,

۲- مواد و روش‌ها

۱- مواد و مصالح مصرفی

برای ساخت نمونه‌های آزمایشگاهی در این پژوهش از تراشه‌های آسفالتی به دست آمده از روسازی‌های قدیمی، مصالح سنگی جدید از جنس سنگ‌آهک، قیر جدید از نوع ۸۵-۱۰۰ و الیاف پارافیبر استفاده شد. تراشه آسفالتی در ساخت نمونه‌های آزمایشگاهی از پروژه بهسازی و اصلاح روسازی آسفالتی در محور اهر-مشگین شهر، کیلومتر ۱۱ واقع در استان آذربایجان شرقی تهیه شد. شکل ۱ منحنی دانه‌بندی این مصالح را نشان می‌دهد. در این منحنی همچنین حد بالا و پایین دانه‌بندی را مطابق با آیین‌نامه روسازی راه‌های ایران نمایش داده شده است. جدول ۱ مقدار حد بالا و پایین را نمایش می‌دهد. برای جداسازی و تعیین درصد قیر موجود در تراشه آسفالتی از دستگاه سانتریفیوژ استفاده شد. این فرآیند در آزمایشگاه مکانیک خاک (نمایندگی شهرستان اهر) انجام گرفت. مصالح بازیافت شده دارای ۹۹ درصد شکستگی در دو جبهه و شاخص تقویل ۱۱ درصد بود. شکل ۲ دانه‌بندی تراشه آسفالت بدون پوشش قیر را نشان می‌دهد. همان‌طور که از شکل مشخص است این دانه‌بندی نیاز به اصلاح دارد تا ضوابط آیین‌نامه روسازی آسفالتی راه‌های ایران تأمین گردد. بدین منظور از مصالح درشت‌دانه‌تر جدید برای ترکیب با تراشه آسفالت استفاده شد. این مصالح جدید از معدن شن و ماسه نقدوز در شهرستان اهر تهیه شد. شکل ۳ دانه‌بندی نهایی به کار رفته برای ساخت نمونه‌های آسفالت گرم بازیافتی را در آزمایشگاه نشان می‌دهد.

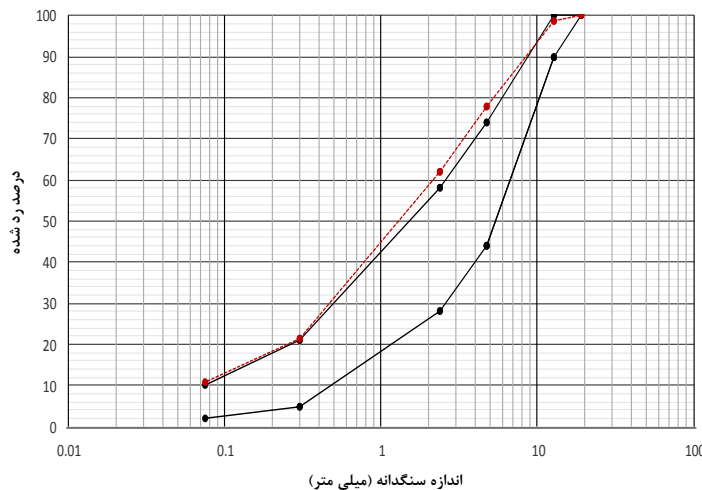
نقش الیاف مختلف در مخلوط‌های آسفالتی صورت گرفته است، لیکن دانش اندکی در خصوص فناوری پارافیبر وجود دارد. در این تحقیق از الیاف پارافیبر در مقدارهای ۰/۱ و ۰/۲ درصد وزنی مخلوط آسفالت بازیافتی استفاده شد. هدف این پژوهش بررسی تأثیر الیاف پارافیبر حاوی تراشه آسفالتی بر متغیرهای مقاومتی (استقامت و روانی مارشال) و متغیرهای حجمی (درصد فضای خالی پرشده با قیر ۱، درصد فضای خالی نمونه، درصد فضای خالی سنگدانه ۲ و وزن مخصوص) مخلوط آسفالتی به منظور تعیین مقدار مناسب الیاف، قیر و تراشه آسفالتی است. نیل به این هدف نیازمند تهیه نمونه‌های آزمایشگاهی مختلف و انجام آزمایش‌های متعدد با هزینه‌های بسیار زیاد در شرایط کنونی کشور است. هزینه‌های بالای آزمایشگاهی پژوهشگران را به سمت کاهش تعداد نمونه‌های آزمایشگاهی سوق می‌دهد (Hamzah, Golchin and Woodward, 2017) هزینه‌ها اخیراً پژوهشگران آزمایشگاهی در مطالعه رفتار مواد آسفالتی از روش سطح پاسخ که یک روش آماری است استفاده کرده‌اند. در بررسی رفتار مخلوط‌های آسفالتی دارای تراشه آسفالت، رفیک و همکاران، طاهرخانی و نوریان و نیز Rafiq et al, 2021; Taherkhani and Noorian, 2021; Golchin and Mansourian, 2107 یک روش طرح آزمایش به نام طراحی عاملی دو سطحی ۳ برای کاهش تعداد نمونه‌های آزمایشگاهی استفاده شده است. در این روش پس از طراحی و انجام آزمایش‌ها، تحلیل آماری بر روی داده صورت گرفته تا ترکیب مناسب برای تهیه مخلوط آسفالت بازیافتی بدست آید.



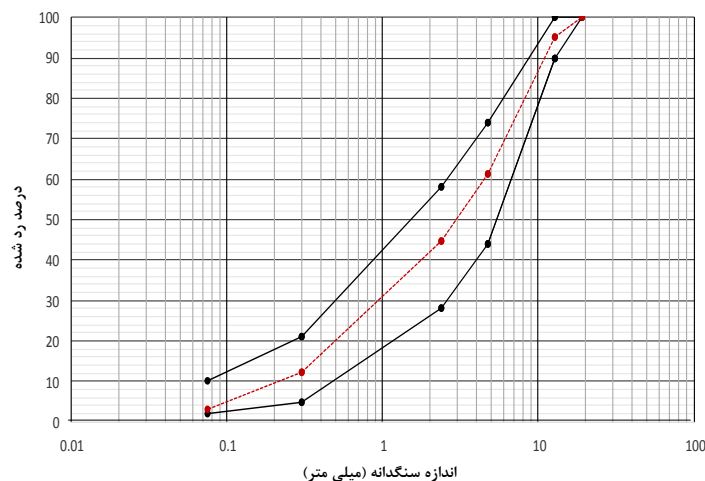
شکل ۱. دانه‌بندی تراشه آسفالت حاوی سنگدانه‌های با پوشش قیری

جدول ۱. حد بالا و پایین دانه‌بندی مطابق با آیین‌نامه روسازی راههای ایران

اندازه الک	درصد وزنی رد شده از الک	۱۹ میلی‌متر	۱۲/۵ میلی‌متر	شماره ۴	شماره ۸	شماره ۵۰	شماره ۲۰۰
درصد وزنی رد شده از الک	۱۰۰	۱۰۰-۹۰	۷۴-۴۴	۵۸-۲۸	۲۱-۵	۱۰-۲	۲۰۰



شکل ۲. دانه‌بندی تراشه آسفالت بدون پوشش قیری



شکل ۳. دانه‌بندی نهایی برای ساخت مخلوط آسفالت گرم بازیافته بدون پوشش قیری

خاصیت انگمی بیشتر از ۱۰۰ سانتی‌متر است. در این تحقیق از الیاف پارافیر برای مسلح کردن مخلوط آسفالتی استفاده شد. شکل ۴ نمونه‌ای از الیاف استفاده شده در این تحقیق را نشان می‌دهد. مشخصات این الیاف در جدول ۲ نمایش داده شده است.

قیر لازم به کار رفته در این پژوهش شامل قیر موجود در مصالح تراشه آسفالت و مقداری قیر جدید از نوع ۸۵-۱۰۰ است. قیر موجود در تراشه آسفالت دارای درجه نفوذ ۳۵ دهم میلی‌متر، نقطه نرمی ۵۸ درجه سانتی‌گراد و خاصیت انگمی ۵۷ سانتی‌متر است. این در حالی است که قیر جدید دارای درجه نفوذ ۸۶ میلی‌متر، نقطه نرمی ۴۷ درجه سانتی‌گراد و



شکل ۴. تصویر الیاف استفاده شده در این تحقیق

جدول ۲. مشخصات الیاف پارافین

رنگ	ویژگی	مقدار
سفید		
بُر		بدون بُر
وزن مخصوص (gr/cm³)	نقطه ذوب پودر (درجه سانتی گراد)	۱/۱۸
نقطه ذوب الیاف (درجه سانتی گراد)	نقطه ذوب الیاف (درجه سانتی گراد)	۱۰۰-۱۱۰
ساختار شیمیابی	الیاف آرامید	۲۳۰
جذب آب		ندارد
طول الیاف		۱۲-۱۸
قطر الیاف (میلی متر)		۰/۱۳
مدول الاستیسیته (GPa)		۷۰

۲-۲- طرح آزمایش

شامل شناسایی متغیرهای مستقل و وابسته، گسترش یک طرح آزمایش (با حداقل تعداد تست‌های آزمایشگاهی)، ساخت نمونه‌های آزمایشگاهی، انجام تست‌های آزمایشگاهی، ورود داده‌های آزمایشگاهی در نرم‌افزار مربوطه، برآش مدل‌های ریاضی مختلف مانند رگرسیون خطی درجه یک، غیرخطی درجه دو و ... بین متغیرهای وابسته و مستقل، کنترل اثر معنادار تک‌تک متغیرهای مستقل و اندرکنش آن‌ها در پیش‌بینی متغیرهای وابسته با استفاده از تحلیل واریانس،^۵ گسترش معادلات ریاضی بین متغیرهای مستقل و وابسته، ترسیم منحنی‌های سه بعدی برای بررسی اثر متغیرها و ارائه ترکیب مناسب صورت گرفت. لازم به ذکر است که در این روش، فرایند بهینه‌سازی مشابه آن چیزی که در روش‌های تحقیق در عملیات مانند روش سیمپلکس که بر مبنای توابع هدف و محدودیت‌های متغیرهای مستقل می‌باشد صورت نگرفته است. این روش، صرفاً یک ترکیب مناسب از سطوح پارامترهای در این تحقیق را نشان می‌دهد. در این طرح آزمایش، سه متغیر

در این تحقیق با توجه به هزینه بالای تهیه نمونه‌ها و انجام آزمایش‌ها، از روش طرح آزمایش طراحی عاملی دو سطحی در محیط نرم‌افزار دیزاین اکسپرت ۴ استفاده شد. دلیل استفاده از مدل‌های آماری طرح عاملی این است که هنگام استفاده از طرح فاکتوریل، فاکتورهای اضافی را می‌توان بدون متholm شدن هزینه‌های اضافی بررسی کرد. در این تحقیق با توجه به مطالعات پیشین، پارامترهای مستقل موثر بر مشخصات فنی مخلوط‌های آسفالت گرم بازیافتی شناسایی شده و با توجه به بازه مجاز هر کدام از پارامترها از طرح عاملی دو سطحی به عنوان روشنی مناسب به منظور کاهش تعداد آزمایش‌های لازم استفاده شده است. در مراجع علمی برای انجام طراحی‌های عاملی استفاده از دو نرم‌افزار Minitab و Design expert متدائل است که در این تحقیق از نرم افزار دیزاین اکسپرت به دلیل داشتن ابزار سه بعدی ساز قادرمند و سایر امکانات پیشرفته استفاده شده است. این نرم‌افزار شامل مجموعه‌ای از روش‌های آماری برای طراحی آزمایش، ارزیابی میزان تأثیر متغیرهای تحقیق، توسعه مدل‌های ریاضی و انتخاب ترکیب مناسب است. بدین منظور در این پژوهش اقدامات مختلف

بر این نمونه‌ها، حد وسط متغیرها نیز برای انجام آزمایش تعريف می‌گردد. حد وسط، نمونه‌ای با ۵۰ درصد تراشه، ۰/۲ درصد الیاف و ۵ درصد قیر است. برای حد وسط تکرار آزمایش نیز در نظر گرفته می‌شود تا میزان تغییرات نتایج آزمایشگاهی شناسایی گردد. شماره‌های ۵ الی ۸ در جدول ۳ تکرار آزمایش در نقطه مرکزی را نشان می‌دهد.

شامل درصد تراشه، درصد الیاف و درصد قیر به عنوان ورودی مدل تعريف شدن. مقدار تراشه بین صفر تا ۵۰ درصد، مقدار الیاف بین ۰ تا ۰/۲ درصد و مقدار قیر بین ۴ تا ۶ درصد انتخاب گردید. در روش طراحی عاملی دو سطحی حد بالا و پایین متغیرها برای ساخت نمونه‌ها پیشنهاد می‌شود. شماره‌های ۱ تا ۴ و نیز ۹ تا ۱۲ در جدول ۳ نمونه‌هایی هستند که بر اساس این تعريف در آزمایشگاه ساخته می‌شوند. علاوه

جدول ۳. طرح آزمایش به کار رفته در این تحقیق

شماره آزمایش	تراشه (درصد)	قیر (درصد)	الیاف (درصد)
۱	۰	۴	۰
۲	۰/۲	۴	۰
۳	۰	۶	۰
۴	۰/۲	۶	۰
۵	۰/۱	۵	۲۵
۶	۰/۱	۵	۲۵
۷	۰/۱	۵	۲۵
۸	۰/۱	۵	۲۵
۹	۰	۴	۵۰
۱۰	۰/۲	۴	۵۰
۱۱	۰	۶	۵۰
۱۲	۰/۲	۶	۵۰

۴-۴- روش تحلیل داده‌ها

در این تحقیق، نتایج آزمایشگاهی با روش طراحی عاملی دو سطحی تجزیه و تحلیل شد و مقادیر به دست آمده با معیارهای آئین‌نامه روسازی آسفالتی راه‌های ایران (نشریه شماره ۲۳۴) مورد مقایسه قرار گرفت.

۳- نتایج و بحث

برای به دست آوردن آثار اصلی و متقابل متغیرها از روش طراحی عاملی دو سطحی استفاده شد. در این روش، تأثیر درصدهای متغیر تراشه آسفالت، قیر و الیاف پارافین بر مقدار پاسخ (استقامت مارشال، روانی، فضای خالی، وزن مخصوص، فضای خالی پرشده با قیر، فضای خالی مصالح سنگی) مورد بررسی قرار گرفت. از علائم اختصاری A برای درصد تراشه آسفالت، B برای درصد قیر و C برای درصد الیاف مصرفی استفاده شد. نتایج آزمایشگاهی مربوط به طرح آزمایش در جدول ۴ برای تراشه‌های محور اهر - مشگین شهر نشان داده شده است.

۳-۲- تهیه نمونه‌ها و تست‌های آزمایشگاهی

دمای اختلاط قیر، مصالح سنگی جدید و تراشه آسفالت ۱۶۰ درجه سانتی‌گراد در نظر گرفته شد. بدین منظور مصالح تراشه آسفالتی به طور جداگانه و به مدت دو ساعت حرارت داده شد. اختلاط الیاف، مصالح سنگی و قیر جدید با تراشه آسفالت، در دمای ۱۵۰ درجه سانتی‌گراد صورت گرفت. مصالح در داخل قالب استاندارد مارشال با قطر ۱۰ سانتی‌متر ریخته شده و توسط چکش مارشال کوبیده و تراکم شدند. از ۷۵ ضربه در هر دو طرف قالب برای تراکم نمونه‌ها استفاده شد. پس از آماده‌سازی نمونه‌ها، تست‌های آزمایشگاهی شامل وزن مخصوص واقعی، استقامت مارشال، روانی مارشال، درصد حجمی فضای خالی آسفالت و درصد حجمی فضای خالی مصالح سنگی آسفالت مترکم شده انجام گردید.

جدول ۴. آزمایش‌های طراحی شده و نتایج آزمایشگاهی به روش طراحی عاملی دو سطحی

VMA (درصد)	VFA (درصد)	تفصیل کل	وزن محض بتن	پیو ساز بتن	دلم بتن	تفصیل آسفالت	پیو ساز آسفالت	پیو ساز (درصد)	پیو ساز (درصد)	تغییر نموده از نیزه
۱۵/۸۵	۵۳/۴۵	۷/۳۸	۲/۳۰	۲	۶۷۸/۹۶	۰/۱	۵	۲۵	۱	
۱۶/۱۶	۵۲/۲۱	۷/۷۲	۲/۳۰	۱/۸	۷۹۲/۱۲	۰/۲	۴	۰	۲	
۱۷/۰۸	۷۶/۸۸	۳/۹۵	۲/۳۲	۲/۳	۸۲۹/۸۴	۰/۱	۵	۲۵	۳	
۱۷/۸۸	۷۲/۷۵	۴/۸۷	۲/۳۰	۱/۲	۶۷۸/۹۶	۰	۴	۰	۴	
۱۶/۸۸	۶۲/۷۵	۶/۲۹	۲/۲۹	۲/۴	۹۸۰/۷۲	۰/۱	۵	۲۵	۵	
۱۶/۲۶	۶۵/۶۴	۵/۰۹	۲/۳۱	۲/۰۵	۱۰۱۸/۴۴	۰	۴	۵۰	۶	
۱۶/۳۵	۶۵/۲۱	۵/۶۹	۲/۳۱	۲/۶	۸۶۷/۵۶	۰	۶	۵۰	۷	
۱۶/۷۷	۶۳/۲۴	۶/۱۶	۲/۲۹	۲/۵	۱۰۱۸/۴۴	۰/۲	۶	۵۰	۸	
۱۵/۸۲	۵۲/۳۳	۷/۵۴	۲/۳۰	۳/۱	۱۰۳۷/۳	۰/۲	۴	۵۰	۹	
۱۵/۵۵	۵۳/۳۸	۷/۲۵	۲/۳۰	۲/۸	۱۰۹۳/۸۸	۰/۱	۵	۲۵	۱۰	
۱۶/۷۸	۷۷/۱۵	۳/۸۳	۲/۳۲	۳/۸	۱۱۵۰/۴۶	۰	۶	۰	۱۱	
۱۷/۱۵	۷۵/۱۶	۴/۲۶	۲/۳۱	۳/۳	۹۶۱/۸۶	۰/۲	۶	۰	۱۲	

۱-۳- استقامت مارشال

جدول ۵، نتایج تحلیل واریانس را برای استقامت مارشال نشان می‌دهد. همان‌طور که مشاهده می‌شود متغیرهای C، ABC، AC، BC و AB متابله‌های تأثیرگذار در پیش‌بینی مقدار استقامت مارشال نیستند درحالی که A متغیر تأثیرگذاری در این بخش هست. معیار تأثیرگذاری متغیر مقدار P-value کمتر از ۰/۰۵ می‌باشد.

مشابه یک پل را ایفا می‌کنند و از گسترش ترک‌ها جلوگیری می‌کنند. لیکن افزایش بیشتر الیاف، اثر معکوسی را می‌تواند ایجاد کند. جالب این است که در مخلوط آسفالتی در قیر ۶ درصد، با افزایش درصد الیاف از صفر به ۰/۲ درصد استقامت نمونه مارشال کاهش می‌یابد. شاید دلیل این پدیده، اندرکنش بین الیاف و قیر است. به طوری که با افزایش مقدار قیر، اتصال الیاف بین سنگدانه‌ها برای فراهم نمودن شرایط لازم برای ایجاد مقاومت کششی در الیاف ایجاد نشده است و استقامت مارشال افزایش پیدا نکرده است. شکل (۵-ج) اثر درصد تراشه آسفالتی و درصد الیاف بر استقامت مارشال را نشان می‌دهد. همان‌طور که ملاحظه می‌شود با افزایش درصد الیاف از صفر به ۰/۲ درصد با تراشه صفر درصد، مقدار استقامت نمونه مارشال کاهش ناچیزی داشته و لی با افزایش درصد الیاف از صفر به ۰/۲ درصد با تراشه ۵۰ درصد استقامت نمونه مارشال افزایش نشان نمی‌دهد. معادله (۱) اثر مقدار تراشه آسفالتی، درصد قیر و درصد الیاف بر استقامت مارشال را به صورت یک رابطه ریاضی نشان می‌دهد.

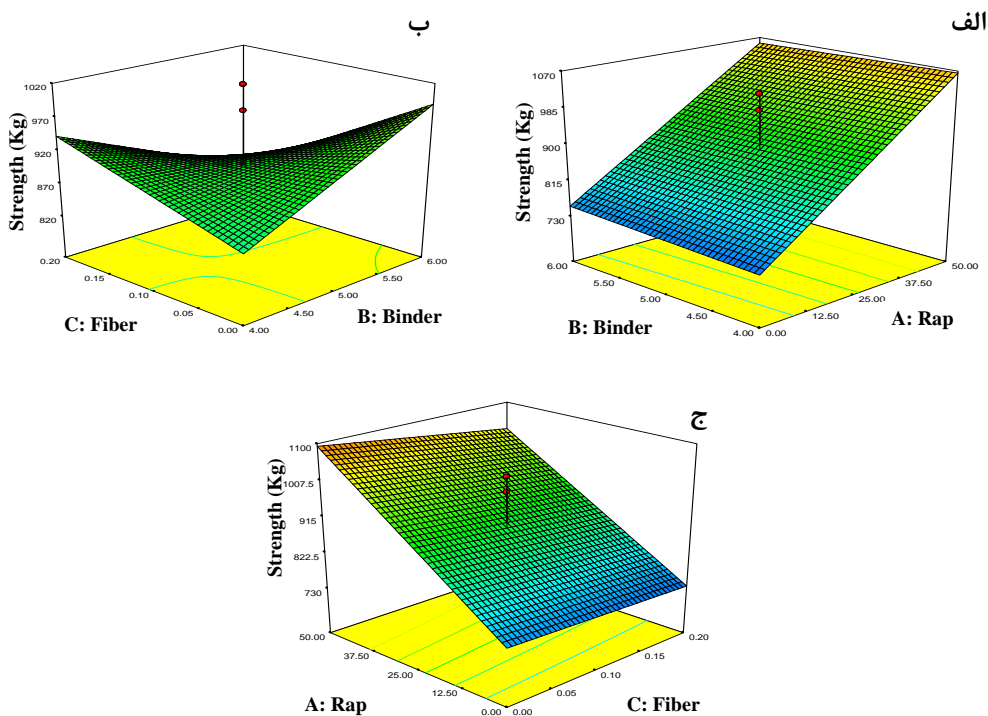
شکل (۵-الف) اثر درصد تراشه آسفالت و درصد قیر بر روی استقامت مارشال را نشان می‌دهد. همان‌طور که ملاحظه می‌شود با افزایش مقدار تراشه آسفالت از صفر به ۵۰ درصد مقدار استقامت نمونه مارشال افزایش می‌یابد درصورتی که با افزایش درصد قیر از ۴ به ۶ درصد، افزایش اندکی در استقامت مارشال انجام گرفته است. شکل (۵-ب) اثر درصد قیر و درصد الیاف بر روی استقامت مارشال را نشان می‌دهد. همان‌طور که ملاحظه می‌شود با افزایش مقدار الیاف از صفر به ۰/۲ درصد با قیر ۴ درصد مقدار استقامت مارشال افزایش داشته است. دلیل این امر نقش مسلح کننده الیاف با ایجاد یک شبکه سه بعدی در افزایش استقامت مارشال است. الیاف به هنگام ترک خوردگی مخلوط‌های آسفالتی، نقشی

$$\begin{aligned} \text{Strength} = & +377.20000 + 8.67560A + 75.44000B + 3206.20000C \\ & -0.37720AB - 9.43000AC - 660.10000BC \end{aligned} \quad (1)$$

جدول ۵. تحلیل واریانس برای استقامت مارشال

P-value	F-value	میانگین مربعات	درجه آزادی	مجموع مربعات	متیغ
۰/۰۰۸۲	۳۹/۱۵	۱/۹۹۶×۱۰ ^۰	۱	۱/۹۹۶×۱۰ ^۰	A
۰/۹۳۱۵	۰/۰۰۸۷۲۱	۴۴/۴۶	۱	۴۴/۴۶	B
۰/۴۶۲۳	۰/۷۱	۳۶۰/۱/۴۶	۱	۳۶۰/۱/۴۶	C
۰/۷۹۷۶	۰/۰۷۸	۴۰۰/۱۴	۱	۴۰۰/۱۴	AB
۰/۶۷۲۴	۰/۲۲	۱۱۱۱/۵۶	۱	۱۱۱۱/۵۶	AC
۰/۰۸۶۱	۶/۳۶	۳۲۴۱۳/۱۳	۱	۳۲۴۱۳/۱۳	BC
۰/۹۳۱۵	۰/۰۰۸۷۲۱	۴۴/۴۶	۱	۴۴/۴۶	ABC

A: مقدار تراشه آسفالت، B: مقدار قیر و C: مقدار الیاف



شکل ۵. الف- اثر قیر و تراشه آسفالت، ب- اثر الیاف و قیر و ج- اثر تراشه آسفالت و الیاف بر روی استقامت نمونه مارشال

۲-۳- فضای خالی

تراشه آسفالت از صفر به ۵۰ درصد، مقدار فضای خالی کمی کاهش داشته ولی با افزایش درصد قیر از ۴ به ۶ درصد فضای خالی کاهش می‌باید. این مطلب نشان می‌دهد که افزایش مقدار قیر، فضای خالی بین حفرات را در مخلوط آسفالتی پرکرده است. شکل (۶-ب) اثر درصد قیر و درصد الیاف را بر روی

جدول ۶ نتایج تحلیل واریانس [۱](#) برای فضای خالی نمونه‌ها نشان می‌دهد. همان‌طور که مشاهده می‌شود تنها متغیر B با مقدار P-value ۰/۰۵، متغیر تأثیرگذار در این بخش هست. شکل (۶-الف) اثر مقدار تراشه آسفالت و درصد قیر بر فضای خالی نمونه‌ها را نشان می‌دهد. با افزایش مقدار

است. در این شکل، بیشترین فضای خالی مربوط به حالتی است که الیاف بیشتری در مخلوط بازیافتی استفاده شده است. در واقع وجود الیاف توانسته است مانع جابجا شدن بیشتر مصالح سنگی و ماتع تراکم بیشتر مخلوط آسفالتی شود. در نتیجه فضای خالی در مخلوط آسفالتی افزایش داشته است. معادله (۲) اثر مقدار تراشه آسفالتی، درصد قیر و درصد الیاف را بر روی فضای خالی نمونه مارشال با ارایه یک مدل ریاضی بین متغیرها نشان می‌دهد.

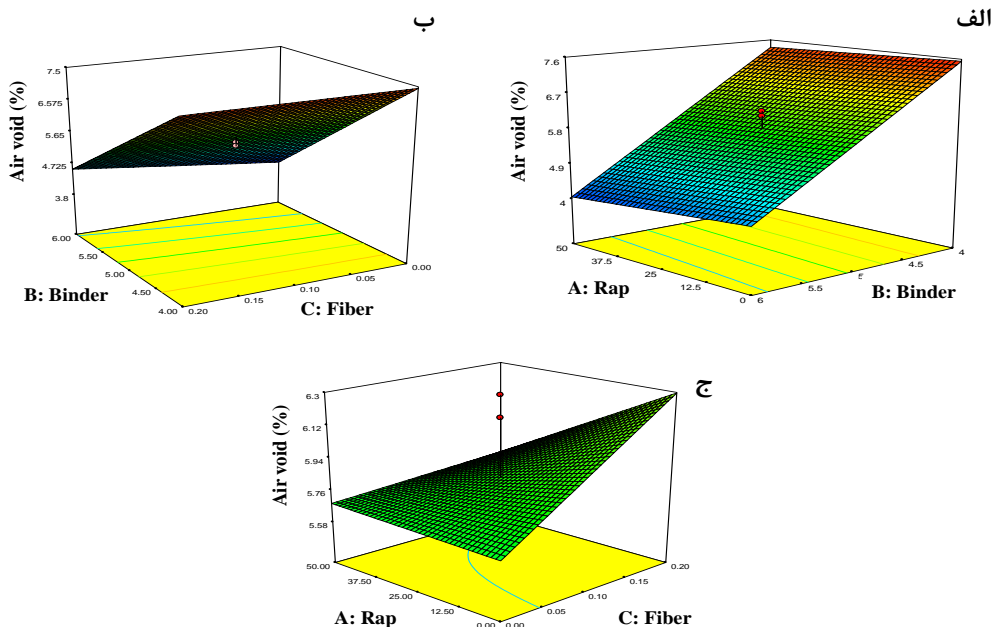
$$\begin{aligned} \text{Air voids} = & +14.23676 + 0.014367A - 1.71481B - 4.02510C \\ & - 2.77593E - 003AB - 0.091675AC + 1.43950BC \end{aligned} \quad (2)$$

فضای خالی نشان می‌دهد. با افزایش درصد الیاف از صفر به ۰٪ درصد، فضای خالی نمونه مارشال کمی افزایش می‌یابد. دلیل این امر می‌تواند جلوگیری از جابجایی مصالح برای کاهش فضای خالی مخلوط آسفالتی توسط الیاف باشد. شکل ۶-ج) اثر مقدار تراشه آسفالت و درصد الیاف بر روی فضای خالی نمونه مارشال را نشان می‌دهد. همان‌طور که ملاحظه می‌شود با افزایش مقدار تراشه آسفالت از صفر به ۵۰٪ درصد بدون وجود الیاف مقدار فضای خالی نمونه تغییری نداشته

جدول ۶. تحلیل واریانس برای فضای خالی

P-value	F-value	میانگین مربعات	درجه آزادی	مجموع مربعات	منع
۰/۳۶۷۷	۱/۱۲	۰/۱۳	۱	۰/۱۳	A
۰/۰۰۰۹	۱۷۵/۷۴	۲۱/۰۷	۱	۲۱/۰۷	B
۰/۲۴۷۰	۲/۰۶	۰/۲۵	۱	۰/۲۵	C
۰/۷۰۰۲	۰/۱۸	۰/۰۲۲	۱	۰/۰۲۲	AB
۰/۳۳۰۹	۱/۳۴	۰/۱۶	۱	۰/۱۶	AC
۰/۲۷۸۸	۱/۷۴	۰/۲۱	۱	۰/۲۱	BC
۰/۸۹۵۴	۰/۰۲۰	۰/۰۰۲۴۵۱	۱	۰/۰۰۲۴۵۱	ABC

A: مقدار تراشه آسفالت، B: مقدار قیر و C: مقدار الیاف



شکل ۶. اثر قیر و تراشه آسفالتی، ب- اثر الیاف و الیاف و ج- اثر قیر و الیاف و ج- اثر الیاف و تراشه آسفالتی بر روی فضای خالی نمونه مارشال

۳-۳- وزن مخصوص آسفالت

نمونه آسفالت افزایش یافته و با افزایش درصد قیر از ۴ به ۶ درصد وزن مخصوص نمونه افزایش می‌یابد. شکل (۷-ج) اثر درصد الیاف و درصد قیر بر روی وزن مخصوص نمونه مارشال را نشان می‌دهد. همان‌طور که ملاحظه می‌شود، درصد الیاف از صفر به $0/2$ درصد با مقدار قیر ۴ درصد، مقدار وزن مخصوص نمونه تغییری نمی‌کند درحالی‌که با افزایش درصد الیاف از صفر به $0/2$ درصد با قیر ۶ درصد وزن مخصوص نمونه مارشال افزایش نمی‌یابد. دلیل عدم افزایش وزن مخصوص می‌تواند به عدم تغییر فضای خالی یا افزایش آن در مخلوط آسفالتی ارتباط داشته باشد. معادله (۳) اثر مقدار تراشه آسفالتی، درصد قیر و درصد الیاف بر روی وزن مخصوص نمونه مارشال را به صورت یک رابطه ریاضی نشان می‌دهد.

جدول ۷ تحلیل واریانس صورت گرفته بر روی نتایج وزن مخصوص آسفالت نمونه مارشال را نشان می‌دهد. همان‌طور که مشاهده می‌شود، متغیرهای A، B و C متغیرهای تأثیرگذار در این پیش‌بینی نیستند. شکل (۷-الف) اثر مقدار تراشه آسفالت و درصد الیاف بر روی وزن مخصوص نمونه مارشال را نشان می‌دهد. همان‌طور که ملاحظه می‌شود با افزایش مقدار تراشه آسفالت از صفر به 50 درصد و بدون استفاده از الیاف مقدار وزن مخصوص نمونه کمی کاهش یافته ولی با افزایش درصد تراشه از صفر به 50 درصد با الیاف $0/2$ درصد وزن مخصوص نمونه مارشال افزایش می‌یابد. شکل (۷-ب) اثر مقدار تراشه آسفالت و درصد قیر بر روی وزن مخصوص نمونه مارشال را نشان می‌دهد. همان‌طور که ملاحظه می‌شود با افزایش مقدار تراشه آسفالت از صفر به 50 درصد، مقدار وزن مخصوص

$$\begin{aligned} \text{Unit weight} = & +2.27325 - 3.70011E - 004A + 7.78235E - 003B \\ & + 0.11725C + 5.54411E - 005AB + 1.39202E - 003AC - 0.038898BC \end{aligned} \quad (3)$$

جدول ۷. تحلیل واریانس برای وزن مخصوص آسفالت

P-value	F-value	میانگین مربعات	درجه آزادی	مجموع مربعات	منبع
$0/7243$	$0/15$	$1/0776 \times 10^{-5}$	۱	$1/0776 \times 10^{-5}$	A
$0/1790$	$2/11$	$2/229 \times 10^{-4}$	۱	$2/229 \times 10^{-4}$	B
$0/2512$	$2/01$	$1/441 \times 10^{-4}$	۱	$1/441 \times 10^{-4}$	C
$0/6749$	$0/21$	$1/537 \times 10^{-5}$	۱	$1/537 \times 10^{-5}$	AB
$0/3291$	$1/35$	$9/689 \times 10^{-5}$	۱	$9/689 \times 10^{-5}$	AC
$0/2846$	$1/69$	$1/210 \times 10^{-4}$	۱	$1/210 \times 10^{-4}$	BC
$0/8834$	$0/25$	$1/824 \times 10^{-6}$	۱	$1/824 \times 10^{-6}$	ABC

A: مقدار تراشه آسفالت، B: مقدار قیر و C: مقدار الیاف

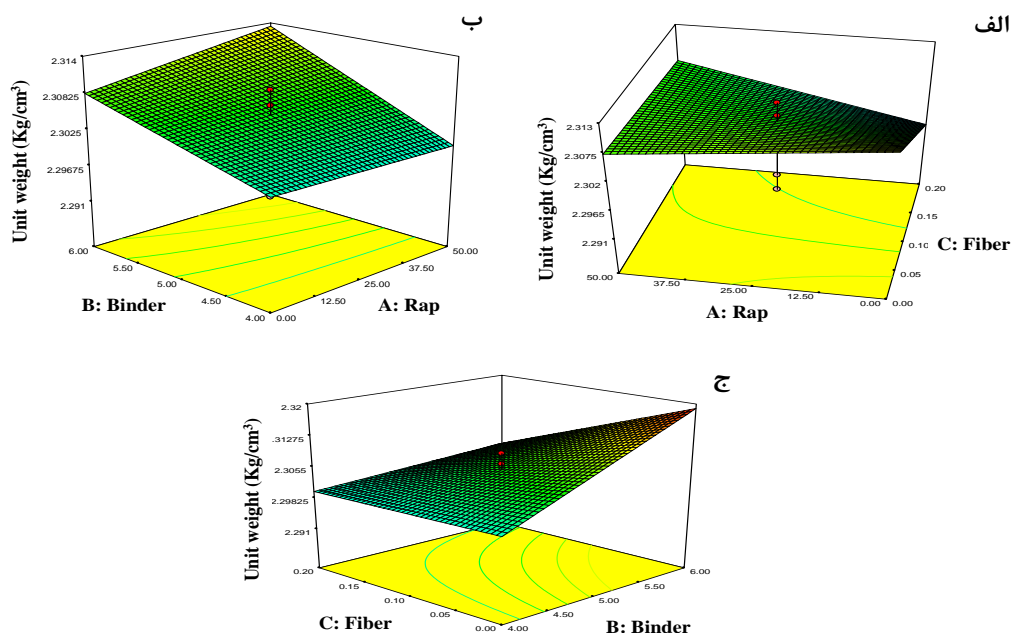
۴-۳- نتایج روانی

می‌یابد. افزایش مقدار قیر توانسته است جابجایی بین سنگدانه‌ها برای افزایش روانی را در مخلوط بازیافتی فراهم کند. شکل (۸-ب) اثر مقدار تراشه آسفالت و درصد الیاف بر روی روانی نمونه مارشال را نشان می‌دهد. همان‌طور که ملاحظه می‌شود با افزایش مقدار تراشه آسفالت از صفر به 50 درصد، روانی نمونه افزایش داشته ولی با افزایش درصد الیاف از صفر به $2/0$ درصد روانی کاهش می‌یابد. شکل (۸-ج) اثر درصد قیر و درصد الیاف بر روی روانی نمونه مارشال را نشان

جدول ۸ تحلیل واریانس برای نتایج روانی نمونه مارشال را نشان می‌دهد. همان‌طور که مشاهده می‌شود متغیرهای A، B و C با مقدار P-value کمتر از $0/05$ متغیرهای اثرگذاری در این پیش‌بینی هستند. شکل (۸-الف) اثر مقدار تراشه آسفالت و درصد قیر بر روی روانی نمونه مارشال را نشان می‌دهد. همان‌طور که ملاحظه می‌شود با افزایش مقدار تراشه آسفالت از صفر به 50 درصد روانی نمونه افزایش داشته و با افزایش درصد قیر از ۴ به ۶ درصد، روانی نمونه مارشال افزایش

الیاف توانان با یک مقدار قیر معین، عملکرد مربوط به ترکیب خودشان را ایجاد می‌کنند. این موضوع را شاید این چنین بتوان توجیه کرد که با افزایش الیاف، مقدار قفل و بست مصالح کاهش می‌یابد و در نتیجه روانی افزایش یابد در حالی که در یک مقدار قیر کمتر، این قفل و بست تغییر نمی‌کند و شبکه‌ای از الیاف مانع تغییر شکل‌های بیشتر در نمونه آسفالتی می‌شود و روانی در مقایسه با نمونه‌های کنترل کاهش می‌یابد. معادله (۴) اثر مقدار تراشه آسفالتی، درصد قیر و درصد الیاف را بر روی روانی نمونه مارشال نشان می‌دهد.

می‌دهد. همان‌طور که ملاحظه می‌شود با افزایش قیر از ۴ به ۶ درصد روانی نمونه افزایش داشته در صورتی که با افزایش درصد الیاف از صفر به ۰/۲ درصد روانی کاهش می‌یابد. در مقالات متعدد اثر اندرکنش بین قیر و الیاف مختلف بر روانی مارشال گزارش شده است. در این مقالات مشاهده می‌شود، مخلوط‌های آسفالتی در مقدار قیرهای مختلف با کاهش یا افزایش مقدار الیاف، روندهای مختلفی را برای روانی (Morva et al. 2016, Morva, 2013, Chen et al. 2009) تعریف می‌کنند. این بدان معناست که مقدار مشخص یک



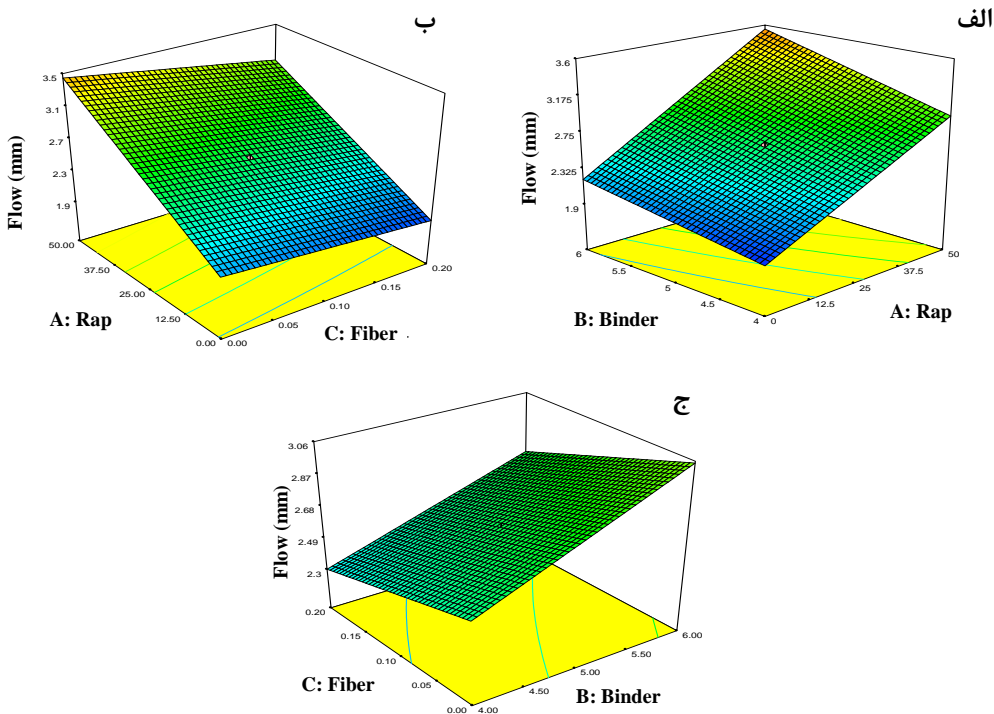
شکل ۷. الف- اثر الیاف و تراشه آسفالتی، ب- اثر مقدار تراشه آسفالت و درصد قیر و ج- اثر درصد الیاف و درصد قیر بر روحی وزن مخصوص نمونه مارشال

$$\begin{aligned} Flow = & +1.40000 + 6.00000E - 003 A + 0.15000 B - 1.00000 C \\ & + 4.00000E - 003 AB + 0.030000 AC \end{aligned} \quad (4)$$

جدول ۸. تحلیل واریانس برای روانی مارشال

P-value	F-value	میانگین مربعات	درجه آزادی	مجموع مربعات	منبع
۰/۰۰۰۳	۳۹۴/۹۷	۲/۸۸	۱	۲/۸۸	A
۰/۰۰۵۰	۵۵/۵۴	۰/۴۰	۱	۰/۴۰	B
۰/۰۱۵۷	۲۴/۶۹	۰/۱۸	۱	۰/۱۸	C
۰/۰۸۸۹	۶/۱۷	۰/۰۴۵	۱	۰/۰۴۵	AB
۰/۱۹۶۳	۲/۷۴	۰/۰۲۰	۱	۰/۰۲۰	AC
۰/۴۶۸۴	۰/۶۹	۵/۰۰۰×۱۰ ^{-۳}	۱	۵/۰۰۰×۱۰ ^{-۳}	BC

A: مقدار تراشه آسفالت، B: مقدار قیر و C: مقدار الیاف



شکل ۸. الف- اثر درصد قیر و تراشه آسفالتی ب- اثر الیاف و تراشه آسفالتی و ج- اثر درصد قیر و الیاف بر روی روانی نمونه مارشال

با افزایش قیر از ۴ به ۶ درصد، فضای خالی پرشده با قیر نمونه افزایش داشته و نیز با افزایش درصد الیاف از صفر به ۰/۲ درصد، فضای خالی پرشده با قیر نیز اندکی کاهش می‌یابد. کاهش درصد فضای خالی پرشده با قیر با افزایش فضای خالی مخلوط آسفالتی ارتباط دارد. شکل (۱۰-ج) اثر مقدار تراشه آسفالتی و درصد الیاف بر روی فضای خالی پرشده با قیر نمونه مارشال را نشان می‌دهد. همان‌طور که ملاحظه می‌شود با افزایش قیر مقدار تراشه آسفالتی از صفر به ۵۰ درصد، فضای خالی پرشده با قیر نمونه افزایش داشته درصورتی که با افزایش درصد الیاف از صفر به ۰/۲ درصد، فضای خالی پرشده با قیر نمونه کاهش می‌یابد. معادله (۵) اثر مقدار تراشه آسفالتی، درصد قیر و درصد الیاف را بر روی فضای خالی پرشده با قیر نمونه مارشال به صورت یک رابطه ریاضی نشان می‌دهد.

۳-۵-۳- فضای خالی پرشده با قیر

جدول ۹ نتایج تحلیل واریانس را برای فضای خالی پرشده با قیر برای نمونه مارشال نشان می‌دهد. همان‌طور که مشاهده می‌شود متغیر B، متغیر اثرگذار در پیش‌بینی مقدار فضای خالی پرشده با قیر نمونه مارشال هست.

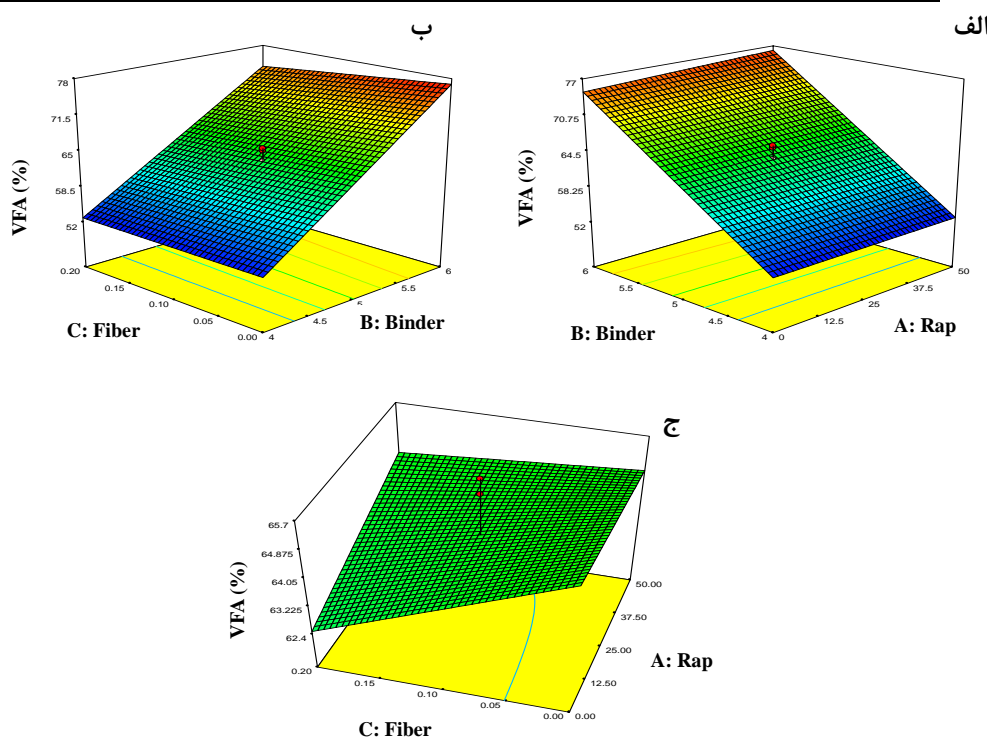
شکل (۱۰-الف) اثر درصد قیر و مقدار تراشه آسفالت بر روی فضای خالی پرشده با قیر نمونه مارشال را نشان می‌دهد. همان‌طور که ملاحظه می‌شود با افزایش قیر از ۴ به ۶ درصد فضای خالی پرشده با قیر نمونه افزایش داشته درصورتی که با افزایش مقدار تراشه آسفالت از صفر به ۵۰ درصد، فضای خالی پرشده با قیر تقریباً تغییری نداشته است. شکل (۱۰-ب) اثر درصد قیر و درصد الیاف بر روی فضای خالی پرشده با قیر نمونه مارشال را نشان می‌دهد. همان‌طور که ملاحظه می‌شود

$$VFA = +6.57896 - 0.078156 A + 11.71763 B + 22.74253 C + 0.013920 AB \\ + 0.26021 AC - 7.23234 BC - 7.72523 E - 003 ABC \quad (5)$$

جدول ۹. تحلیل واریانس برای فضای خالی پرشده با قیر

P-value	F-value	میانگین مربعات	درجه آزادی	مجموع مربعات	منج
۰/۵۴۸۴	۰/۴۵	۰/۹۳	۱	۰/۹۳	A
۰/۰۰۰۲	۵۰۴/۱۵	۱۰۲۵/۷۰	۱	۱۰۲۵/۷۰	B
۰/۲۱۶۱	۲/۴۴	۴/۹۷	۱	۴/۹۷	C
۰/۵۶۱۰	۰/۴۲	۰/۸۶	۱	۰/۸۶	AB
۰/۳۵۲۳	۱/۲۱	۲/۴۵	۱	۲/۴۵	AC
۰/۲۳۷۳	۲/۱۷	۴/۴۱	۱	۴/۴۱	BC
۰/۹۷۱۹	$1/467 \times 10^{-3}$	$2/984 \times 10^{-3}$	۱	$2/984 \times 10^{-3}$	ABC

A: مقدار تراشه آسفالت، B: مقدار قیر و C: مقدار الیاف



شکل ۱۰. الف- اثر درصد قیر و تراشه آسفالتی، ب- اثر درصد قیر و الیاف و ج- اثر الیاف و تراشه آسفالتی بر روی فضای خالی پرشده با
قیر نمونه مارشال

۶-۳- فضای خالی مصالح سنگی

با افزایش قیر از ۴ به ۶ درصد فضای خالی مصالح سنگی نمونه افزایش می‌یابد؛ و همچنین با افزایش مقدار تراشه آسفالتی از صفر به ۵۰ درصد، فضای خالی مصالح سنگی کاهش می‌یابد. شکل (۱۱-ب) اثر درصد قیر و درصد الیاف بر روی فضای خالی مصالح سنگی نمونه مارشال را نشان می‌دهد. همان‌طور که ملاحظه می‌شود با افزایش قیر از ۴ به ۶ درصد،

جدول ۱۰ تحلیل واریانس را برای نتایج فضای خالی مصالح سنگی نمونه مارشال نشان می‌دهد. همان‌طور که مشاهده می‌شود متغیر B، متغیر اثربخش در پیش‌بینی مقدار فضای خالی مصالح سنگی نمونه مارشال هست. شکل (۱۱-الف) اثر درصد قیر و مقدار تراشه آسفالت بر روی فضای خالی مصالح سنگی نمونه مارشال را نشان می‌دهد. همان‌طور که ملاحظه می‌شود

درصد فضای خالی مصالح سنگی کاهش داشته، در صورتی که با افزایش درصد الیاف از صفر به ۰/۲ درصد فضای خالی مصالح سنگی افزایش می‌یابد. معادله (۶) اثر مقدار تراشه آسفالتی، درصد قیر و درصد الیاف را بر روی فضای خالی مصالح سنگی نمونه مارشال نشان می‌دهد.

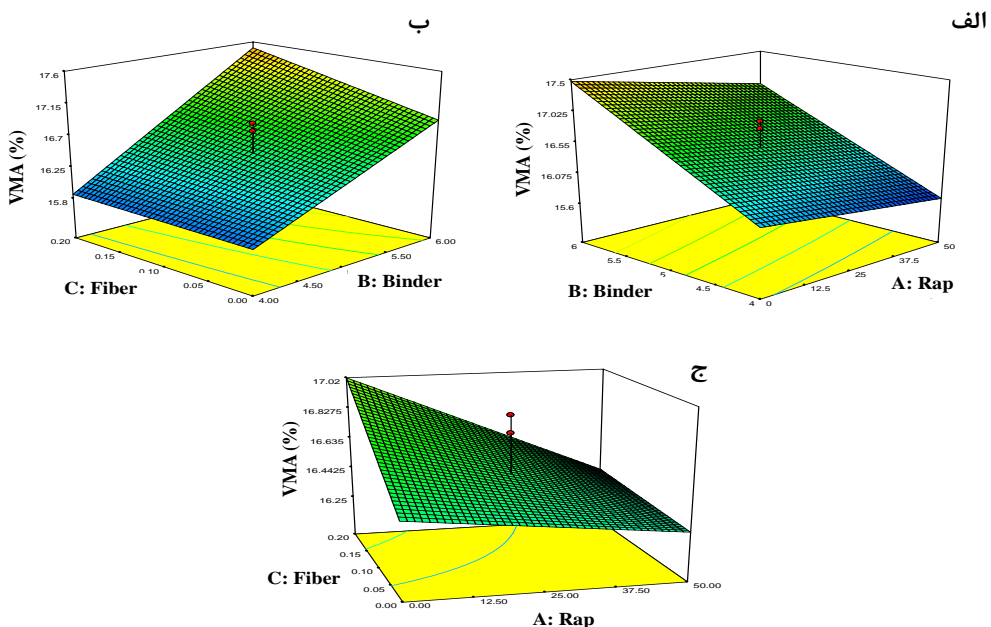
فضای خالی مصالح سنگی نمونه افزایش می‌یابد. همچنین با افزایش درصد الیاف از صفر به ۰/۲ درصد با قیر ۶ درصد فضای خالی مصالح سنگی افزایش می‌یابد. شکل (۱۱-ج) اثر مقدار تراشه آسفالت و درصد الیاف بر روی فضای خالی مصالح سنگی نمونه مارشال را نشان می‌دهد. همان‌طور که ملاحظه می‌شود با افزایش مقدار تراشه آسفالتی از صفر به ۵۰

$$VMA = +13.38673 + 0.010133A + 0.61543B - 3.23956C - 2.69006E \\ - 003AB - 0.088133AC + 1.20349BC + 7.55749E - 003ABC \quad (6)$$

جدول ۱۰. تحلیل واریانس برای فضای خالی مصالح سنگی مارشال

P-value	F-value	میانگین مریعات	درجه آزادی	مجموع مریعات	منبع
۰/۱۵۰۲	۳/۷۰	۰/۳۵	۱	۰/۳۵	A
۰/۰۰۸۰	۴۰/۰۹	۳/۷۸	۱	۳/۷۸	B
۰/۲۵۶۲	۱/۹۶	۰/۱۸	۱	۰/۱۸	C
۰/۶۸۶۲	۰/۲۰	۰/۰۱۹	۱	۰/۰۱۹	AB
۰/۳۳۰۲	۱/۳۴	۰/۱۳	۱	۰/۱۳	AC
۰/۲۸۹۸	۱/۶۴	۰/۱۶	۱	۰/۱۶	BC
۰/۸۷۲۹	۰/۰۳۰	۲/۸۵۶×۱۰ ^{-۳}	۱	۲/۸۵۶×۱۰ ^{-۳}	ABC

A: مقدار تراشه آسفالت، B: مقدار قیر و C: مقدار الیاف

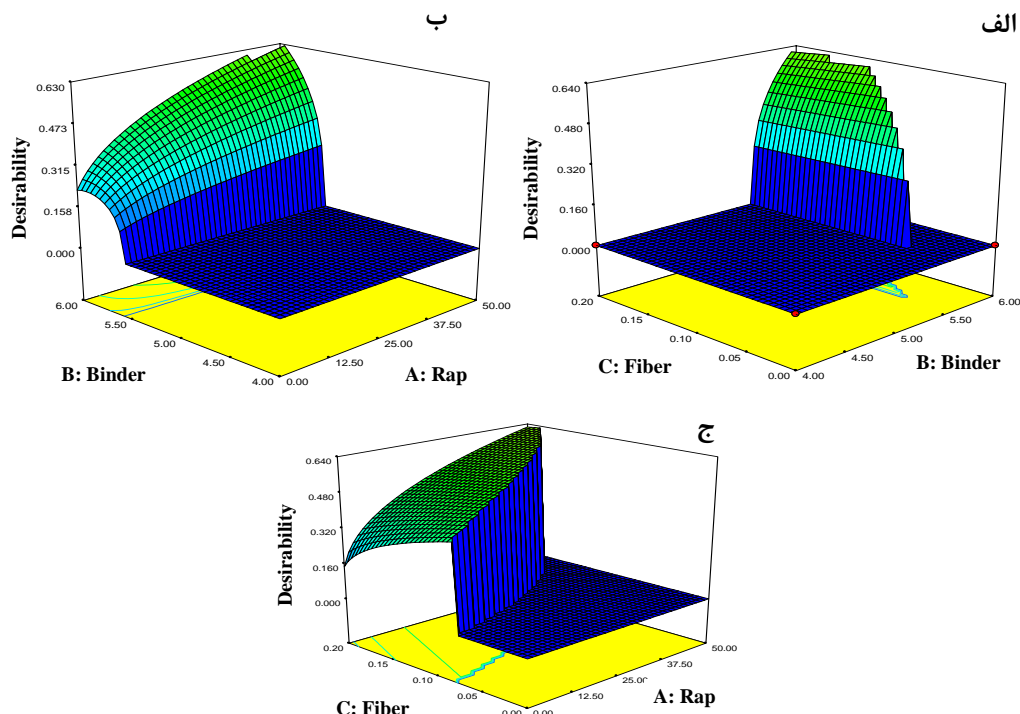


شکل ۱۱. الف- اثر درصد قیر و تراشه، ب- اثر الیاف و تراشه، ج- اثر الیاف و مقدار تراشه آسفالتی بر روی فضای خالی مصالح سنگی نمونه مارشال

فوق، نتایج تحلیل تابع مطلوبیت ۶ به ازای درصد قیر، درصد تراشه آسفالتی و درصد الیاف مختلف در شکل ۱۲ نمایش داده شده است. لازم به ذکر است که در بعضی از ترکیب‌ها، تعدادی از پارامترهای حجمی و مقاومتی در خارج از محدوده تعریف شده در آیین‌نامه قرار می‌گیرند، در نتیجه مطلوبیت آن ترکیب‌ها صفر می‌شود. به عنوان مثال اگر در یک ترکیب، مقدار روانی از دامنه مجاز کمتر یا بیشتر باشد، مقدار مطلوبیت صفر خواهد بود. مطلوبیت صفر موجب نمایش شکست ناگهانی در شکل ۱۲ شده است. این نقاط شایستگی انتخاب شدن به عنوان یک ترکیب از الیاف، قیر و تراشه برای تهییه مخلوط‌های آسفالتی را ندارند. هدف، انتخاب ترکیبی است که ماکریم مطلوبیت را تامین نماید. نرم‌افزار دیزاین اکسپرت مطابق جدول ۱۱، ترکیب مناسب را در تهییه مخلوط‌های آسفالت بازیافتنی حاوی الیاف پیشنهاد می‌دهد. همان‌طور که ملاحظه می‌شود، مخلوط مناسب در قیر ۵/۹۷ درصد، تراشه آسفالت ۵۰ درصد و الیاف ۰/۲ درصد با مقدار مطلوبیت ۰/۶۳۳ تعریف می‌شود.

۴- تعیین ترکیب مناسب برای ارایه طرح تولید مخلوط آسفالتی

سؤال مهم در طراحی مخلوط آسفالت بازیافتنی حاوی تراشه آسفالت شاید این باشد که با چه ترکیبی از الیاف، قیر و تراشه آسفالتی می‌توان به یک ترکیب مناسب برای تولید مخلوط آسفالت بازیافتنی دست‌یافته. بدین منظور در معرفی این ترکیب شرایط و محدودیت‌های آیین‌نامه روسازی آسفالتی راه‌های ایران (نشریه ۲۳۴) و نرم‌افزار دیزاین اکسپرت استفاده شد. در این نرم‌افزار، استقامت و وزن مخصوص به صورت حداقل، روانی بین ۲ الی ۲/۵ میلی‌متر، فضای خالی آسفالت بین ۳ الی ۵ درصد، فضای خالی پر شده با قیر بین ۶۰ الی ۷۵ الی ۱۸ الی ۲۵ درصد تعريف شد. بدین منظور مطلوبیت ترکیب مخلوط‌های آسفالتی که در حد مجاز قرار می‌گیرند با عدد یک تعريف می‌شود و مطلوبیت ترکیب‌هایی که در خارج از محدوده مجاز قرار می‌گیرند صفر تعريف می‌گردد. مطلوبیت نقاطی که دارای حداقل وزن مخصوص و استقامت مارشال هستند با عدد یک و سایر نقاط بین یک تا صفر ارزش گذاری می‌شوند. بر اساس معیارهای



شکل ۱۲. مقدار تابع مطلوبیت به ازای الف-قیر و الیاف، ب-تراشه آسفالت و قیر و ج-تراشه آسفالت و الیاف

جدول ۱۱. ترکیب پیشنهادی برای تهیه مخلوط آسفالت بازیافتی

ردیف	مقدار (درصد)	وزن مخصوص (گیلوگرم)	آستانه استفاده (درصد)	تعداد (درصد)	مقدار (درصد)	وزن مخصوص (گیلوگرم)	آستانه استفاده (درصد)	مقدار (درصد)	وزن مخصوص (گیلوگرم)	آستانه استفاده (درصد)	مقدار (درصد)	نام
۱	۵۰	۵/۹۷	۰/۱۸	۱۰۱۰/۸۷	۳/۴۲	۲/۳۱	۴/۲۸	۷۵	۱۷/۰۹	۰/۶۳۳	۱۷/۱۰	۷۵
۲	۵۰	۵/۹۷	۰/۱۹	۱۰۰۷/۲۳	۳/۴۱	۲/۳۱	۴/۲۷	۷۵	۱۷/۱۰	۰/۶۳۳	۱۷/۱۰	۷۵
۳	۵۰	۵/۹۶	۰/۱۷	۱۰۲۰/۳۱	۳/۴۴	۲/۳۱	۴/۳۰	۷۵	۱۷/۰۵	۰/۶۳۳	۱۷/۰۵	۷۵

۵-نتیجه‌گیری

۰/۱۹ (با تقریب ۲) درصد الیاف برای تولید آسفالت بازیافتی گرم با مصالح استحصال شده از نوع تراشه آسفالت محور اهر-مشگین شهر استفاده نمود.

۶-پی‌نوشت‌ها

1. Voids Filled with Bitumen (VFB)
2. Voids in the Mineral Aggregate (VMA)
3. 2-Level Factorial Design
4. Design Expert
5. Analysis of Variance (ANOVA)
6. Desirability

۷-مراجع

- گلچین، ب. و رئی، م.، (۱۳۹۹)، "ازیابی مشخصات فنی مخلوط‌های آسفالتی حاوی تراشه آسفالت و افزودنی ساسویت"، پژوهشنامه حمل و نقل، دوره ۱۷، شماره ۲، ص. ۱۸۷-۱۹۲.

- نام‌آور جهرمی، م. و ابوطالبی اصفهانی، م.، (۱۳۹۶)، "بررسی عملکرد الیاف فورتا و پلی‌پروپیلن در مخلوط آسفالتی با آزمایش مدول برجهندگی"، دومین همایش ملی مهندسی عمران و توسعه پایدار، دانشگاه آزاد اسلامی واحد استهبان، استهبان.

- معتمدی، ح.، ذاکر، ج. و حسینی عقدا، ا.، (۱۳۹۶)، "بررسی آزمایشگاهی عملکرد مخلوط‌های آسفالتی اصلاح شده با الیاف فورتا و پارافایبر در دماهای مختلف"، نهمین همایش ملی و نمایشگاه قیر، آسفالت و ماشین‌آلات، مرکز تحقیقات راه و مسکن و شهرسازی، تهران.

- کفاش‌زاده، س.، (۱۳۹۶)، "بررسی آزمایشگاهی مقاومت مارشال سه ماده مؤثر الیاف فورتا و الیاف شیشه‌ای و زباله PET بر رفتار خستگی مخلوط آسفالت گرم"، کنفرانس ملی تحقیق و

در تحقیق حاضر به بررسی اثر الیاف پارافایبر در کنار میزان تراشه خردۀ آسفالتی و قیر بر مشخصات فنی مخلوط‌های آسفالت گرم بازیافتی پرداخته شد و نتایج زیر حاصل شد:

با طراحی آزمایش‌ها به روش طراحی عاملی دو سطحی ضمن کاهش هزینه‌های لازم برای تست تعداد زیادی از نمونه‌های آزمایشگاهی و انجام تحلیل واریانس مشاهده گردید که درصد تراشه آسفالت و درصد قیر به ترتیب دارای بیشترین تأثیر بر روی استقامت مارشال و درصد فضای خالی هستند. هر سه متغیر مورد بررسی بر روی روانی مارشال تأثیر معنی‌داری دارند و مقدار قیر بر میزان فضای خالی پرشده توسط قیر و فضای خالی مصالح سنگی تأثیر معنی‌داری دارد.

در مخلوط‌های آسفالت بازیافتی، الیاف پارافایبر استقامت مارشال را می‌تواند افزایش دهد. در مخلوط حاوی ۵۰ درصد تراشه و ۶ درصد قیر، افزایش الیاف از صفر به ۰/۲ درصد، مقدار استقامت مارشال را ۱۷/۴ درصد افزایش می‌دهد. در مخلوط‌های با مقدار تراشه و الیاف مختلف، بیشترین فضای خالی مربوط به حالتی است که الیاف بیشتری در مخلوط بازیافتی استفاده شده است. همچنین تغییر مقدار الیاف در مخلوط‌هایی با تراشه کمتر، موجب تغییر در وزن مخصوص می‌شود. روانی مارشال به اندرکنش بین مقدار قیر و الیاف بستگی دارد. افزایش مقدار تراشه آسفالت در مخلوط‌های آسفالت بازیافتی حاوی افزودنی الیاف موجب کاهش فضای خالی آسفالت، فضای خالی مصالح سنگی نمونه مارشال و همچنین افزایش تراشه آسفالت موجب افزایش استقامت و روانی نمونه مارشال می‌شود.

با توجه به نتایج بدست‌آمده با رعایت الزامات آینین‌نامه‌ای، می‌توان ۵۰ درصد تراشه آسفالت را در مخلوط آسفالتی با حضور ۵/۹۷ (با تقریب ۶ درصد قیر خالص ۸۵-۱۰۰

- Memon, A. M., (2021), "Modeling and design optimization of reclaimed asphalt pavement containing crude palm oil using response surface methodology", *Construction and Building Materials*, Vol.291, pp.123288.
- Zhang, J., Sun, H., Jiang, H., Xu, X., Liang, M., Hou, Y., and Yao, Z., (2019), "Experimental assessment of reclaimed bitumen and RAP asphalt mixtures incorporating a developed rejuvenator", *Construction and Building Materials*. Vol.215, pp.660-669.
- Chen, H., Xu, Q., Chen, S. and Zhang, Z., (2009), "Evaluation and design of fiber-reinforced asphalt mixtures", *Materials and Design*, Vol.30(7), pp.2595-2603.
- Fakhri, M., and Mottahed, A. R., (2021), "Improving moisture and fracture resistance of warm mix asphalt containing RAP and nanoclay additive", *Construction and Building Materials*, Vol.272, pp.121900.
- Golchin, B., and Mansourian, A., (2017), "Evaluation of fatigue properties of asphalt mixtures containing reclaimed asphalt using response surface method", *International Journal of Transportation Engineering*, Vol.4, No.4, pp.335-350.
- Jahromi, S. G. and Khodai, A., (2008), "Carbon Fiber Reinforced Asphalt Concrete". *Arabian Journal of Science and Engineering*, Vol.33, No.2B, pp. 355–364.
- Mirhosseini, A. F., Tahami, S. A., Hoff, I., Dessouky, S., and Ho, C. H., (2019), "Performance evaluation of asphalt mixtures containing high-RAP binder content and bio-oil rejuvenator", *Construction and Building Materials*, Vol.227, pp.116465.
- Morova, N. (2013) "Investigation of usability of basalt fibers in hot mix asphalt concrete", *Construction and Building Materials*, Vol.47, pp.175-180.
- Morova, N., Serin, S., Terzi, S., Saltan, M., Kucukcapraz, D.O., Karahancer, S.S. and Eriskin, E., (2016), "Utility of polyparaphenylene terephthalamide fiber in hot mix asphalt as a fiber", *Construction and Building Materials*, Vol.107, pp.87-94.
- Taherkhani, H., and Noorian, F., (2021), "Investigating permanent deformation of recycled asphalt concrete containing waste oils as rejuvenator using response surface methodology (RSM)", *Iranian Journal of Science and Technology, Transactions of Civil Engineering*, Vol.45, No.3, pp.1989-2001.
- توسعه در مهندسی عمران، معماری و شهرسازی نوین، پژوهشگاه فرهنگ و هنر، تهران.
- شفابخش، غ.، اسدی، س. و محمدی جانکی، ا.، (۱۴۰۰)، "بررسی پتانسیل شیارشده و مدلول برجهندگی مخلوط آسفالت لاستیکی حاوی الیاف پارافیبر"، *فصلنامه مهندسی حمل و نقل*, در نوبت چاپ.
- نام آور جهرمی، م.، سی سختی، س. و قزل بیگلو، ا.، (۱۳۹۶)، "بررسی عملکرد الیاف پلی اتیلن و پارافیبر در مخلوط آسفالتی با آزمایش خرش دینامیکی", دومین همایش ملی مهندسی عمران و توسعه پایدار، دانشگاه آزاد اسلامی واحد استهبان، استهبان.
- نام آور جهرمی، م. و ابوطالبی اصفهانی، م.، (۱۳۹۷)، "آزمایشگاهی الیاف پارافیبر", دهمین همایش قیر و آسفالت ایران، مرکز تحقیقات راه، مسکن و شهرسازی، تهران.
- Aravind, K., Shaopeng, W. and Ning, L., (2009), "Investigation of the dynamic and fatigue properties of fibermodified asphalt mixtures", *International Journal of Fatigue*, Vol.31, No.10, pp. 1598-1602.
- Fakhri, M., and Hosseini, S. A., (2017), "Laboratory evaluation of rutting and moisture damage resistance of glass fiber modified warm mix asphalt incorporating high RAP proportion", *Construction and Building Materials*, Vol.134, pp.626-640.
- Hamzah, M. O., Golchin, B., and Woodward, D., (2017), "A quick approach for rheological evaluation of warm asphalt binders using response surface method", *Journal of Civil Engineering and Management*, Vol.23, No. 4, pp.475-486.
- Hamzah, M. O., Gungat, L., and Golchin, B. (2017), "Estimation of optimum binder content of recycled asphalt incorporating a wax warm additive using response surface method", *International Journal of Pavement Engineering*. Vol.18, N0.8, pp.682-692.
- Jaskula, P., Stienss, M., and Szydłowski, C. (2016), "Effect of polymer fibres reinforcement on selected properties of asphalt mixtures". *Procedia Engineering*, Vol.172, pp. 441 – 448.
- Pang, L., Wang, P., Li, B., Pan, P., Wu, S. P., (2014), "Investigation of Rheological Characteristics of Carbon Fiber Modified Asphalt Binder", *Key Engineering Materials*, Vol.599, pp. 182-186.
- Rafiq, W., Napiah, M., Habib, N. Z., Sutanto, M. H., Alaloul, W. S., Khan, M. I., and

Evaluating the Effect of Para-fiber on the Technical Properties of in Plant Hot Recycled Asphalt Mixture and Determining a Suitable Combination

Babak Golchin, Department of Civil Engineering,
University of Mohaghegh Ardabili, Ardabil, Iran.

Mohammad Aliyan, Department of Civil Engineering, Ahar Branch,
Islamic Azad University, Ahar, Iran.

Ramin Meshkabadi, Department of Advanced Technologies,
University of Mohaghegh Ardabili, Ardabil, Iran.

E-mail: r_meshkabadi@uma.ac.ir

Received: March 2023- Accepted: August 2023

ABSTRACT

Today, due to the rapid increase in the bitumen price and environmental problems, the hot mix recycling is taken into consideration in the construction of asphalt pavements. From a technical point of view, fibers are materials that improve a number of behaviors of asphalt mixtures. The aim of this research is to investigate the technical properties of reclaimed asphalt pavement (RAP) in the presence of para-fibers in order to achieve a suitable combination of these parameters. For this purpose, a new approach was utilized to design the experiment, analyze the results and choose the appropriate asphalt mixture. This approach uses a two-level factorial design in the Design Expert software environment based on desirability functions. The results showed that in the mixture containing 50% RAP and 6% bitumen, increasing the fibers from zero to 0.2% increases the Marshall Strength value by 17.4% and decreases the Marshal Flow value by 3.8%. In the same mixture with 4% bitumen, with the increase of fibers from zero to 0.2%, Marshall's strength and flow increase by 1.8 and 21.5, respectively. The most air voids are related to the mixtures, containing 50% RAP, 4% bitumen and 0.2% fibers. The results for selected materials showed that the suitable combination for the production of reclaimed asphalt mixtures according to the design criteria in Iran Highway Asphalt Paving Code is 6% bitumen, 50% RAP and 0.2% para-fiber.

Keywords: Reclaimed Asphalt Pavement, 2-Level Factorial Design, Para-Fibre, Bitumen, Experiment Design